

RPW 121 504 / 2025

Warszawa, dn. 2025-12-18

T-Mobile Polska S.A.
ul. Marynarska 12
02-674 Warszawa

Pełnomocnik: Paulina Ciesielska
Pełnomocnictwo numer: 162/01/21
z dnia: 2021-01-13

dane do korespondencji:

NetWorks Sp. z o.o.
ul. Abpa Baraniaka 6
61-131 Poznań
tel. 538897717

Starosta Powiatu Mińskiego
Starostwo Powiatowe w Mińsku Mazowieckim
ul. Kościuszki 3
05-300 Mińsk Mazowiecki

W nawiązaniu do aktualizacji wystanej dnia 09.12.2025r. dotyczącej **zmian danych w zakresie wielkości i rodzaju emisji** dla instalacji radiokomunikacyjnej **21207 (81570N!) WWA_HALINOW_WIELGOLAS** wnoszę o korektę do treści w niej zawartych. W wyniku błędu pisarskiego zmienia się brzmienie Adresu.

Prawidłowy adres:

WIELGOLAS BRZEZIŃSKI, PIASTOWSKA 62 DZ.90/7, Powiat miński, WOJ. MAZOWIECKIE



Signed by /
Podpisano przez:
Paulina Ciesielska
Date / Data:
2025-12-18 13:35

Potwierdzam zgodność wydruku z dokumentem wydanym w postaci elektronicznej:

Identyfikator dokumentu	478717.971258.1209281
Nazwa dokumentu	N_81570_aktualizacja_korekta-sig (Załącznik - RPW_121504_2025).pdf
Tytuł dokumentu	N_81570_aktualizacja_korekta-sig (Załącznik - RPW_121504_2025)
Skrót dokumentu	15DDB914136DFB868811C799589AF2B816D6C57C
Wersja dokumentu	1.0
Data podpisu	18.12.2025
Sygnatariusz	Paulina Ciesielska
Rodzaj certyfikatu	Certyfikat kwalifikowany podpisu elektronicznego
	EZD 3.130.38.38.
Data wydruku:	19.12.2025 08:26:32
Autor wydruku:	Kowalczyk Marta

Warszawa, dn. 2025-12-09

T-Mobile Polska S.A.
ul. Marynarska 12
02-674 Warszawa

Pełnomocnik: Paulina Ciesielska
Pełnomocnictwo numer: 162/01/21
z dnia: 2021-01-13

dane do korespondencji:

NetWorks Sp. z o.o.
ul. Abpa Baraniaka 6
61-131 Poznań
tel. 538897717

Starosta Powiatu Mińskiego
Starostwo Powiatowe w Mińsku Mazowieckim
ul. Kościuszki 3
05-300 Mińsk Mazowiecki

Dotyczy: ustawowego obowiązku, wynikającego z art. 152 ust. 1 i ust. 7 w związku z ust. 6 pkt 1c ustawy z dnia 27 kwietnia 2001r – Prawo ochrony środowiska (Dz.U. 2024 poz. 54).

Działając z upoważnienia T-Mobile Polska S.A. z siedzibą ul. Marynarska 12, 02-674 Warszawa, **informuję o zmianie danych w zakresie wielkości i rodzaju emisji** dla instalacji radiokomunikacyjnej **21207 (81570N!) WWA_HALINOW_WIELGOLAS** zlokalizowanej w miejscowości WIELGOLAS BRZEZIŃSKI 9. W stosunku do informacji zawartej w zgłoszeniu realizowanym dla tej instalacji w trybie art. 152 ust. 1 i 5 ustawy z dnia 27 kwietnia 2001r – Prawo ochrony środowiska (Dz.U. 2024 poz. 54), dane ulegają zmianie w następujący sposób:

9. Wielkość i rodzaj emisji²⁾:

Pole elektromagnetyczne. EIRP poszczególnych anten zostało podane w pkt 12, tj.

Lp.	Równoważna moc promieniowana izotropowo (EIRP) [W]
1.	19710
2.	19910
3.	19710
4.	19910
5.	19710
6.	19910

Lp.	Równoważna moc promieniowana izotropowo (EIRP) [W]
7.	51
8.	892
9.	631
10.	13
11.	1783
12.	8338
13.	6623
14.	5012

12. Szczegółowe dane, odpowiednio do rodzaju instalacji, zgodne z wymaganiami określonymi w załączniku nr 2 do Rozporządzenia:

Lp.	1)	2)	3)	4)	5)	
	Współrzędne geograficzne	Częstotliwość lub zakresy częstotliwości pracy instalacji [MHz]	Wysokość środka elektrycznego anteny [m n.p.t]	Równoważna moc promieniowana izotropowo (EIRP) [W]	Azymut [°]	Kąt pochylenia lub zakresy kątów pochylenia [°]
1.	21°24'19.5" 52°12'7.4"	800/900/1800/ 2100/2600	58	19710	50	2-12/2-12/ 2-12/2-12/ 2-12
2.	21°24'19.5" 52°12'7.4"	3600	58	19910	50	0-12
3.	21°24'19.5" 52°12'7.4"	800/900/1800/ 2100/2600	38.5	19710	190	2-10/2-10/ 2-10/2-10/ 2-10
4.	21°24'19.5" 52°12'7.4"	3600	38.5	19910	190	0-10
5.	21°24'19.4" 52°12'7.4"	800/900/1800/ 2100/2600	58	19710	300	2-12/2-12/ 2-12/2-12/ 2-12
6.	21°24'19.4" 52°12'7.4"	3600	58	19910	300	0-12
7.	21°24'19.5" 52°12'7.4"	32000	60.5	51	50*	nd.
8.	21°24'19.5" 52°12'7.4"	32000	53.5	892	72*	nd.
9.	21°24'19.5" 52°12'7.4"	32000	54.3	631	72*	nd.
10.	21°24'19.5" 52°12'7.3"	38000	54	13	170*	nd.

Lp.	1)	2)	3)	4)	5)	
	Współrzędne geograficzne	Częstotliwość lub zakresy częstotliwości pracy instalacji [MHz]	Wysokość środka elektrycznego anteny [m n.p.t]	Równoważna moc promieniowana izotropowo (EIRP) [W]	Azymut [°]	Kąt pochylenia lub zakresy kątów pochylenia [°]
11.	21°24'19.5" 52°12'7.4"	23000	53	1783	213*	nd.
12.	21°24'19.4" 52°12'7.4"	38000	54	8338	281*	nd.
13.	21°24'19.5" 52°12'7.4"	38000	59.5	6623	287*	nd.
14.	21°24'19.5" 52°12'7.4"	80000	51.5	5012	327*	nd.

*) tolerancja azymutu od -10° do +10°.

Informuję, iż dokonane zmiany w zakresie wielkości i rodzaju emisji przedmiotowej instalacji nie powodują zmiany instalacji w sposób istotny zgodnie z art. 3 pkt 7 ustawy Poś.

W załączniku przesyłam:

1. Pełnomocnictwo
2. Kopia potwierdzenia wniesienia opłaty skarbowej.
3. Sprawozdanie z pomiarów pól elektromagnetycznych wykonanych dla celów ochrony środowiska.

Otrzymują:

1. a/a
2. adresat



Signed by /
Podpisano przez:
Paulina Ciesielska
Date / Data:
2025-12-09 15:01

Potwierdzam zgodność wydruku z dokumentem wydanym w postaci elektronicznej:

Identyfikator dokumentu	475194.961436.1198147
Nazwa dokumentu	N_81570_aktualizacja_zgłoszenia_w_trybie_art_152_ustawy_Poś_ver2-sig (Załącznik - RPW 118322 2025).pdf
Skrót dokumentu	EA8F4E0580DE41E3554C90CC38DAEFA4FE DB7306
Wersja dokumentu	1.0
Data podpisu	09.12.2025
Sygnatariusz	Paulina Ciesielska
Rodzaj certyfikatu	Certyfikat kwalifikowany podpisu elektronicznego
	EZD 3.128.146.146
Data wydruku:	10.12.2025 10:40:20
Autor wydruku:	Kowalczyk Marta



NetWorks Sp. Z o.o.
Laboratorium Badań Środowiskowych
Ul. Józefa Piusa Dziekońskiego 3
00-728 Warszawa
e-mail: Laboratorium@networks.pl

ANEKS

DOT. SPRAWOZDANIA 11485/2025/ OS Z POMIARÓW PÓL ELEKTROMAGNETYCZNYCH WYKONANYCH DLA POTRZEB OCHRONY ŚRODOWISKA

Badany obiekt: Instalacja radiowa T-Mobile Polska S.A.
Numer i nazwa: 21207 (81570N!) WWA_HALINOW_WIELGOLAS
Adres: WIELGOLAS BRZEZIŃSKI, PIASTOWSKA 62 DZ.90/7, Powiat miński, WOJ.
MAZOWIECKIE

Data: 2025-12-11

Aneks do sprawozdania z badań bez pisemnej zgody laboratorium nie może być powielane inaczej niż w całości.
Wynik przedstawione w niniejszym aneksie do sprawozdania odnoszą się wyłącznie do badanego obiektu i do warunków i konfiguracji urządzeń w dniu wykonywania pomiarów.

W wyniku błędu pisarskiego zmienia się brzmienie Adresu (Str.1) i Pkt. 4 Zakres zlecenia (str.2).

Było:

Strona 1

Adres: WIELGOLAS BRZEZIŃSKI 90/7, Powiat miński, WOJ. MAZOWIECKIE

Strona 2

4. Zakres zlecenia:

Wykonanie badania i opracowanie sprawozdania z pomiarów natężenia pola elektrycznego i pola magnetycznego dla instalacji radiokomunikacyjnej T-Mobile Polska S.A. zlokalizowanej w miejscowości WIELGOLAS BRZEZIŃSKI dz nr. 90/7.

Powinno być:

Strona 1

Adres: WIELGOLAS BRZEZIŃSKI, PIASTOWSKA 62 DZ.90/7, Powiat miński, WOJ. MAZOWIECKIE

Strona 2

4. Zakres zlecenia:

Wykonanie badania i opracowanie sprawozdania z pomiarów natężenia pola elektrycznego i pola magnetycznego dla instalacji radiokomunikacyjnej T-Mobile Polska S.A. zlokalizowanej w miejscowości WIELGOLAS BRZEZIŃSKI, PIASTOWSKA 62 DZ.90/7.

Piony pomiarowe zmierzone w dniu pomiarów tj. 2025-12-05 pozostają bez zmian.

Niniejszy aneks proszę dołączyć do każdej z kopii sprawozdania.

Aneks wykonał:

**Adrianna
Wiatrowska**

Elektronicznie podpisany
przez Adrianna
Wiatrowska
Data: 2025.12.16 08:37:36
+01'00'

Aneks autoryzował:



Signed by /
Podpisano przez:
Anna Kacperska
Date / Data:
2025-12-16 09:01

Aneks do sprawozdania z badań bez pisemnej zgody laboratorium nie może być powielane inaczej niż w całości.
Wynik przedstawione w niniejszym aneksie do sprawozdania odnoszą się wyłącznie do badanego obiektu i do warunków i konfiguracji urządzeń w dniu wykonywania pomiarów.

Potwierdzam zgodność wydruku z dokumentem wydanym w postaci elektronicznej:

Identyfikator dokumentu	478717.971257.1209280
Nazwa dokumentu	81570_11485_2025_aneks_OS(3)-sig (Załącznik - RPW_121504_2025).pdf
Tytuł dokumentu	81570_11485_2025_aneks_OS(3)-sig (Załącznik - RPW_121504_2025)
Skrót dokumentu	2B0F2EB0817911F000EF778E020CF063658FC CEA
Wersja dokumentu	1.0
Data podpisu	16.12.2025
Sygnatariusz	Adrianna Wiatrowska
Rodzaj certyfikatu	Certyfikat kwalifikowany podpisu elektronicznego
Data podpisu	16.12.2025
Sygnatariusz	Anna Kacperska
Rodzaj certyfikatu	Certyfikat kwalifikowany podpisu elektronicznego
	EZD 3.130.38.38.
Data wydruku:	19.12.2025 08:26:09
Autor wydruku:	Kowalczyk Marta



NetWorks Sp. z o.o.
Laboratorium Badań Środowiskowych
ul. Józefa Piusa Dziekońskiego 3
00-728 Warszawa
e-mail: Laboratorium@networks.pl



AB 419

S P R A W O Z D A N I E 11485/2025/OS
Z POMIARÓW PÓL ELEKTROMAGNETYCZNYCH
WYKONANYCH DLA POTRZEB OCHRONY ŚRODOWISKA

Badany obiekt: Instalacja radiokomunikacyjna T-Mobile Polska S.A.
Numer i nazwa: 21207 (81570N!) WWA_HALINOW_WIELGOLAS
Adres: WIELGOLAS BRZEZIŃSKI 9, Powiat miński, WOJ. MAZOWIECKIE

Data wykonania pomiarów: 2025-12-05

Sprawozdanie z badań bez pisemnej zgody laboratorium nie może być powielane inaczej niż w całości.
Wynik przedstawione w niniejszym sprawozdaniu odnoszą się wyłącznie do badanego obiektu i do warunków i konfiguracji urządzeń w dniu wykonywania pomiarów.

1. Właściciel badanego obiektu:

T-Mobile Polska S.A., ul. Marynarska 12, 02-674 Warszawa

2. Zleceniodawca:

T-Mobile Polska S.A., ul. Marynarska 12, 02-674 Warszawa

3. Przedstawiciel zleceniodawcy:

NetWorks Sp. z o.o.

4. Zakres zlecenia:

Wykonanie badania i opracowanie sprawozdania z pomiarów natężenia pola elektrycznego i pola magnetycznego dla instalacji radiokomunikacyjnej T-Mobile Polska S.A. zlokalizowanej w miejscowości WIELGOLAS BRZEZIŃSKI 9.

5. Cel zlecenia:

Wykonanie pomiarów pól elektromagnetycznych w otoczeniu instalacji radiokomunikacyjnej 21207 (81570N!) WWA_HALINOW_WIELGOLAS w odniesieniu do wymagań określonych w *Rozporządzeniu Ministra Klimatu z dnia 17 lutego 2020 r. w sprawie sposobów sprawdzania dotrzymania dopuszczalnych poziomów pól elektromagnetycznych w środowisku (Dz.U. 2022 poz. 2630)*.

6. Pomiary zostały wykonane przez:

Radomski Oskar
Stanilewicz Tomasz

7. Informacje o źródłach pól elektromagnetycznych

7.1. Sposób identyfikacji badanych źródeł pól elektromagnetycznych

Identyfikacji źródeł i parametrów technicznych dokonano na podstawie analizy dokumentacji dotyczącej zlecenia oraz obserwacji miejsca wykonywania badań.

7.2. Opis miejsca zainstalowania anten i urządzeń technicznych. Opis obiektu badań i jego otoczenia

Instalacja radiokomunikacyjna zlokalizowana jest na terenie ogrodzonym. Anteny zawieszono na wieży kratowej. Urządzenia sterujące oraz zasilające zainstalowano w kontenerze u podstawy wieży. Wokół instalacji Magazyny i niska zabudowa mieszkalna.

Instalacja radiokomunikacyjna jest obiektem bezobsługowym. Okresowe stanowiska pracy związane są z prowadzonymi w zależności od potrzeb konserwacjami, przeglądami, strojeniem i naprawami.

7.3. Parametry techniczne źródła pola elektromagnetycznego

Dane przedstawiające maksymalne parametry pracy instalacji przekazane przez zleceniodawcę:

Parametry systemu nadawczo-odbiorczego:

Charakterystyka promieniowania		Kierunkowa					
Rzeczywisty czas pracy [h/dobę]		24					
Warunki pracy		Znamionowe					
Rodzaj wytwarzanego pola		Stacjonarne					
Lp.	Częstotliwość lub zakresy częstotliwości pracy [MHz]	Typ/producent anteny	liczba anten	Azymut [°]	kąt pochylenia [°]	Wysokość środka elektrycznego anteny [m n.p.t.]	Równoważna moc promieniowana izotropowo (EIRP) [W]
1	800/900/1800/2100/2600	ASI4518R39v07 Huawei	1	50	2-12**/2-12**/ 2-12**/2-12**/ 2-12**	58	19710
2	3600	AAU5349 Huawei	1	50	0-12**	58	19910
3	800/900/1800/2100/2600	ASI4518R39v07 Huawei	1	190	2-10**/2-10**/ 2-10**/2-10**/ 2-10**	38.5	19710
4	3600	AAU5349 Huawei	1	190	0-10**	38.5	19910
5	800/900/1800/2100/2600	ASI4518R39v07 Huawei	1	300	2-12**/2-12**/ 2-12**/2-12**/ 2-12**	58	19710
6	3600	AAU5349 Huawei	1	300	0-12**	58	19910

* wskazane wartości kąta pochylenia anten, zgodnie z informacją uzyskaną od zleceniodawcy, są wartościami stałymi

** pomiary wykonano zgodnie z pkt 13., ppkt 2 załącznika do Rozporządzenia Ministra Klimatu z dnia 17 lutego 2020 r. (Dz. U. 2022, poz. 2630).

Parametry radiolinii:

Charakterystyka promieniowania		kierunkowa					
Rzeczywisty czas pracy [h/dobę]		24					
Warunki pracy		znamionowe					
Rodzaj wytwarzanego pola		stacjonarne					
Lp.	Linia radiowa			Antena			
	Typ/Producent	Częstotliwość pracy [GHz]	Równoważna moc promieniowana izotropowo (EIRP) [W]	Typ/producent	Średnica anteny [m]	Azymut [°]	Wysokość zainstalowania n.p.t [m]
1.	NEC iPasolink 100E	32	51	VHLP1-32 Andrew	0.3	50	60.5
2.	Huawei RTN 905 2F XMC-3 Huawei	32	892	A32D06 Huawei	0.6	72	53.5
3.	Huawei RTN 905 2F XMC-3 Huawei	32	631	A32D03 Andrew	0.3	72	54.3
4.	ERICSSON CN510 6363 Ericsson	38	13	ANT3_0.3 38 HP/HPX Ericsson	0.3	170	54
5.	RTN XMC-5D Pro 23G 28MHz XPIC Huawei	23	1783	A23D80S06 Huawei	0.6	213	53

Sprawozdanie z badań bez pisemnej zgody laboratorium nie może być powielane inaczej niż w całości.

Wynik przedstawione w niniejszym sprawozdaniu odnoszą się wyłącznie do badanego obiektu i do warunków i konfiguracji urządzeń w dniu wykonywania pomiarów.

Charakterystyka promieniowania		kierunkowa					
Rzeczywisty czas pracy [h/dobę]		24					
Warunki pracy		znamionowe					
Rodzaj wytwarzanego pola		stacjonarne					
Lp.	Linia radiowa			Antena			
	Typ/ Producent	Częstotliwość pracy [GHz]	Równoważna moc promieniowana izotropowo (EIRP) [W]	Typ/ producent	Średnica anteny [m]	Azymut [°]	Wysokość zainstalowania n.p.t [m]
6.	RTN XMC- 3E 38G 28MHz XPIC Huawei	38	8338	A38D06 Huawei	0.6	281	54
7.	RTN XMC- 3E 38G 56MHz XPIC Huawei	38	6623	A38D80S06 Huawei	0.6	287	59.5
8.	RTN 380AX DC 70/80GHz 500MHz Huawei	80	5012	A80D06 Huawei	0.6	327	51.5

7.4 Inne źródła pól elektromagnetycznych

Na podstawie informacji otrzymanych od użytkownika oraz obserwacji otoczenia miejsca wykonywania pomiarów nie stwierdzono występowania innych źródeł pola-EM.

8. Opis pomiarów

8.1. Metoda badań

Zgodna z rozporządzeniem Ministra Klimatu z dnia 17 lutego 2020 r. w sprawie sposobów sprawdzania dotrzymania dopuszczalnych poziomów pól elektromagnetycznych w środowisku (Dz.U. 2022 poz. 2630), określona w pkt 25 ppkt 1 załącznika do niniejszego rozporządzenia.

8.2. Termin pomiarów i warunki środowiskowe

Podczas wykonywania pomiarów pól elektromagnetycznych nie występowały opady atmosferyczne. Wyniki pomiaru parametrów pogodowych przedstawia poniższa tabela:

Data [rrrr-mm-dd]	Godzina [hh:mm- hh:mm]	Warunki środowiskowe			
		Temperatura [°C]		Wilgotność względna [%]	
2025-12-05	12:05-13:05	Przed pomiarem	Po pomiarach	Przed pomiarem	Po pomiarach
		8.1	9.5	66.4	65.0

Przedstawione wyżej warunki środowiskowe, występujące podczas wykonywania pomiarów pól elektromagnetycznych, są zgodne ze specyfikacją techniczną użytego zestawu pomiarowego.

8.3. Warunki pracy urządzeń nadawczych

Podczas pomiarów w przypadku uzyskania wyniku pomiaru szerokopasmowego wykonanego zastosowaną metodą, dla zakresów częstotliwości od 10 MHz do 300 GHz, powiększonego o rozszerzoną niepewność pomiaru U dla współczynnika rozszerzenia $k = 2$ przekraczającego 70% najniższej dopuszczalnej wartości składowej elektrycznej lub magnetycznej pola dla objętych pomiarami zakresów częstotliwości, uwzględnia się poprawki pomiarowe przekazane przez zleceniodawcę, umożliwiające uwzględnienie maksymalnych parametrów pracy instalacji zgodnie z pkt 7 załącznika do Rozporządzeniem Ministra Klimatu z dnia 17 lutego 2020 r. w sprawie sposobów sprawdzania dotrzymania dopuszczalnych poziomów pól elektromagnetycznych w środowisku (Dz. U. 2022, poz. 2630) zaznaczając, że wymagane jest wykonanie pomiaru z wykorzystaniem miernika selektywnego. W przypadku uzyskania wyniku pomiaru szerokopasmowego wykonanego zastosowaną metodą, dla zakresów częstotliwości od 10 MHz do 300 GHz, powiększonego o rozszerzoną niepewność pomiaru U dla współczynnika rozszerzenia $k = 2$ nieprzekraczającego 70% najniższej dopuszczalnej wartości składowej elektrycznej lub magnetycznej pola dla objętych pomiarami zakresów częstotliwości, nie uwzględnia się poprawek pomiarowych.

Sprawozdanie z badań bez pisemnej zgody laboratorium nie może być powielane inaczej niż w całości.

Wynik przedstawione w niniejszym sprawozdaniu odnoszą się wyłącznie do badanego obiektu i do warunków i konfiguracji urządzeń w dniu wykonywania pomiarów.

8.4. Wyposażenie pomiarowe

Zestaw pomiarowy służący do pomiaru natężenia składowej elektrycznej pola elektromagnetycznego złożony z szerokopasmowego miernika i sondy pomiarowej:

Oznaczenie miernika	Producent	Model	Numer fabryczny	Oznaczenie sondy	Producent	Model	Numer fabryczny
MW-10	Wavecontrol	Miernik pół elektromagnetycznych SMP3	23SL0222	SW-19	Wavecontrol	Sonda WPF90	23WP260006

Mierniki natężenia pola elektromagnetycznego podlegają okresowemu sprawdzeniu zgodnie z procedurą wewnętrzną P-03 i PB-01. Świadectwo wzorcowania zestawu pomiarowego z dnia 12 sierpnia 2025 o numerze LWiMP/W/316/25 wydane przez Politechnika Wrocławską. Data ważności świadectwa wzorcowania: 11 sierpnia 2027 (zgodnie z procedurą wewnętrzną P-03).

Oznaczenie miernika	Producent	Model	Numer fabryczny	Oznaczenie sondy	Producent	Model	Numer fabryczny
MW-10	Wavecontrol	Miernik pół elektromagnetycznych SMP3	23SL0222	SW-20	Wavecontrol	Sonda WPF6-HP	23WP060415

Mierniki natężenia pola elektromagnetycznego podlegają okresowemu sprawdzeniu zgodnie z procedurą wewnętrzną P-03 i PB-01. Świadectwo wzorcowania zestawu pomiarowego z dnia 12 sierpnia 2025 o numerze LWiMP/W/316/25 wydane przez Politechnika Wrocławską. Data ważności świadectwa wzorcowania: 11 sierpnia 2027 (zgodnie z procedurą wewnętrzną P-03).

Termohigrometr:

Oznaczenie:	TH-17	Producent:	AZ INSTRUMENT CORP	Model:	Termohigrometr AZ8706
-------------	-------	------------	--------------------	--------	-----------------------

Data ważności świadectwa wzorcowania: 23 maja 2027 (zgodnie z procedurą wewnętrzną P-03).

Dalmierz:

Oznaczenie	Producent	Typ	Numer seryjny	Nr świadectwa wzorcowania	Data świadectwa wzorcowania
D-19	Leica	Dalmierz Leica Disto D510	1030441013	Z3- Z32.4180.152.2023.3253.1	23 października 2023

Data ważności świadectwa wzorcowania: 23 października 2033 (zgodnie z procedurą wewnętrzną P-03).

Odbiornik GNSS:

Odbiornik GNSS wbudowany w miernik natężenia pola elektromagnetycznego użyty podczas pomiarów	Producent	Model
	UBlox	MAX-M8Q

Odbiorniki podlegają okresowemu sprawdzeniu zgodnie z procedurą wewnętrzną P-03.

9. Wyniki pomiarów

Pole elektryczne

Nr pionu	Opis umiejscowienia pionu (punktu) pomiarowego	Wysokość pomiaru [m]	Zmierzona wartość natężenia pola elektrycznego E [V/m] ^{1,5}			Wartość natężenia pola elektrycznego powiększona o niepewność pomiaru ⁴ E [V/m]	Wskaźnikowa wartość poziomu emisji pól elektromagnetycznych WME ³	Współrzędne geograficzne pionu (punktu) pomiarowego ²
			Sonda SW-19	Sonda SW-20	Wartość			
1	DPP - w płaszczyźnie otworu okiennego budynku mieszkalnego, na parterze, Piastowska 62, Wielgolas Brzeziński	0.3-2.0	<1.0*	<1.0*	<1.0*	1.3	0.05	52°12'7.9" 21°24'19.8"
2	DPP - w płaszczyźnie otworu okiennego biura, na parterze, Piastowska 60, Wielgolas Brzeziński	0.3-2.0	<1.0*	<1.0*	<1.0*	1.3	0.05	52°12'6.1" 21°24'19.1"
3	PKP przed wejściem na zamknięta posesję, ul. Piastowska 52	0.3-2.0	<1.0*	<1.0*	<1.0*	1.3	0.05	52°12'8.6" 21°24'22.7"
4	GKP w odległości poziomej 12m od anteny sektorowej az. 50°	0.3-2.0	<1.0*	<1.0*	<1.0*	1.3	0.05	52°12'7.6" 21°24'19.8"
5	GKP w odległości poziomej 46m od anteny radioliniowej az. 50°	0.3-2.0	<1.0*	<1.0*	<1.0*	1.3	0.05	52°12'8.3" 21°24'21.2"
6	GKP w odległości poziomej 80m od anteny sektorowej az. 50°	0.3-2.0	<1.0*	<1.0*	<1.0*	1.3	0.05	52°12'9.0" 21°24'22.7"
7	PKP na az. 4° w odległości poziomej 39m od anteny sektorowej az. 50°	0.3-2.0	<1.0*	<1.0*	<1.0*	1.3	0.05	52°12'8.6" 21°24'19.8"
8	PKP na az. 20° w odległości poziomej 39m od anteny sektorowej az. 50°	0.3-2.0	<1.0*	<1.0*	<1.0*	1.3	0.05	52°12'8.6" 21°24'20.2"
9	PKP na az. 35° w odległości poziomej 35m od anteny sektorowej az. 50°	0.3-2.0	<1.0*	<1.0*	<1.0*	1.3	0.05	52°12'8.3" 21°24'20.5"
10	PKP na az. 65° w odległości poziomej 37m od anteny sektorowej az. 50°	0.3-2.0	<1.0*	<1.0*	<1.0*	1.3	0.05	52°12'7.9" 21°24'21.2"

Sprawozdanie z badań bez pisemnej zgody laboratorium nie może być powielane inaczej niż w całości.

Wynik przedstawione w niniejszym sprawozdaniu odnoszą się wyłącznie do badanego obiektu i do warunków i konfiguracji urządzeń w dniu wykonywania pomiarów.

11	GKP w odległości poziomej 27m od anteny radioliniowej az. 72°	0.3-2.0	<1.0*	<1.0*	<1.0*	1.3	0.05	52°12'7.6" 21°24'20.9"
12	PKP na az. 80° w odległości poziomej 40m od anteny sektorowej az. 50°	0.3-2.0	<1.0*	<1.0*	<1.0*	1.3	0.05	52°12'7.6" 21°24'21.6"
13	PKP na az. 96° w odległości poziomej 40m od anteny sektorowej az. 50°	0.3-2.0	<1.0*	<1.0*	<1.0*	1.3	0.05	52°12'7.2" 21°24'21.6"
14	GKP w odległości poziomej 30m od anteny radioliniowej az. 170°	0.3-2.0	<1.0*	<1.0*	<1.0*	1.3	0.05	52°12'6.5" 21°24'19.8"
15	GKP w odległości poziomej 6m od anteny sektorowej az. 190°	0.3-2.0	<1.0*	<1.0*	<1.0*	1.3	0.05	52°12'7.2" 21°24'19.4"
16	GKP w odległości poziomej 35m od anteny sektorowej az. 190°	0.3-2.0	<1.0*	<1.0*	<1.0*	1.3	0.05	52°12'6.1" 21°24'19.1"
17	GKP w odległości poziomej 79m od anteny sektorowej az. 190°	0.3-2.0	<1.0*	<1.0*	<1.0*	1.3	0.05	52°12'4.7" 21°24'18.7"
18	PKP na az. 144° w odległości poziomej 19m od anteny sektorowej az. 190°	0.3-2.0	<1.0*	<1.0*	<1.0*	1.3	0.05	52°12'6.8" 21°24'20.2"
19	PKP na az. 160° w odległości poziomej 24m od anteny sektorowej az. 190°	0.3-2.0	<1.0*	<1.0*	<1.0*	1.3	0.05	52°12'6.5" 21°24'19.8"
20	GKP w odległości poziomej 47m od anteny radioliniowej az. 213°	0.3-2.0	<1.0*	<1.0*	<1.0*	1.3	0.05	52°12'6.1" 21°24'18.0"
21	GKP w odległości poziomej 33m od anteny radioliniowej az. 281°	0.3-2.0	<1.0*	<1.0*	<1.0*	1.3	0.05	52°12'7.6" 21°24'17.6"
22	GKP w odległości poziomej 24m od anteny radioliniowej az. 287°	0.3-2.0	<1.0*	<1.0*	<1.0*	1.3	0.05	52°12'7.6" 21°24'18.4"

Sprawozdanie z badań bez pisemnej zgody laboratorium nie może być powielane inaczej niż w całości.
 Wynik przedstawione w niniejszym sprawozdaniu odnoszą się wyłącznie do badanego obiektu i do warunków i konfiguracji urządzeń w dniu wykonywania pomiarów.

23	GKP w odległości poziomej 9m od anteny sektorowej az. 300°	0.3-2.0	<1.0*	<1.0*	<1.0*	1.3	0.05	52°12'7.6" 21°24'19.1"
24	GKP w odległości poziomej 39m od anteny sektorowej az. 300°	0.3-2.0	<1.0*	<1.0*	<1.0*	1.3	0.05	52°12'7.9" 21°24'17.6"
25	GKP w odległości poziomej 25m od anteny radioliniowej az. 327°	0.3-2.0	<1.0*	<1.0*	<1.0*	1.3	0.05	52°12'7.9" 21°24'18.7"
26	PKP na az. 205° w odległości poziomej 41m od anteny sektorowej az. 190°	0.3-2.0	<1.0*	<1.0*	<1.0*	1.3	0.05	52°12'6.1" 21°24'18.7"
27	PKP na az. 220° w odległości poziomej 41m od anteny sektorowej az. 190°	0.3-2.0	<1.0*	<1.0*	<1.0*	1.3	0.05	52°12'6.5" 21°24'18.0"
28	PKP na az. 236° w odległości poziomej 41m od anteny sektorowej az. 190°	0.3-2.0	<1.0*	<1.0*	<1.0*	1.3	0.05	52°12'6.5" 21°24'17.6"
29	PKP na az. 254° w odległości poziomej 39m od anteny sektorowej az. 300°	0.3-2.0	<1.0*	<1.0*	<1.0*	1.3	0.05	52°12'7.2" 21°24'17.3"
30	PKP na az. 270° w odległości poziomej 37m od anteny sektorowej az. 300°	0.3-2.0	<1.0*	<1.0*	<1.0*	1.3	0.05	52°12'7.6" 21°24'17.3"
31	PKP na az. 285° w odległości poziomej 37m od anteny sektorowej az. 300°	0.3-2.0	<1.0*	<1.0*	<1.0*	1.3	0.05	52°12'7.6" 21°24'17.6"
32	PKP na az. 315° w odległości poziomej 39m od anteny sektorowej az. 300°	0.3-2.0	<1.0*	<1.0*	<1.0*	1.3	0.05	52°12'8.3" 21°24'18.0"
33	PKP na az. 330° w odległości poziomej 39m od anteny sektorowej az. 300°	0.3-2.0	<1.0*	<1.0*	<1.0*	1.3	0.05	52°12'8.6" 21°24'18.4"

Sprawozdanie z badań bez pisemnej zgody laboratorium nie może być powielane inaczej niż w całości.
 Wynik przedstawione w niniejszym sprawozdaniu odnoszą się wyłącznie do badanego obiektu i do warunków i konfiguracji urządzeń w dniu wykonywania pomiarów.

34	PKP na az. 346° w odległości poziomej 39m od anteny sektorowej az. 300°	0.3-2.0	<1.0*	<1.0*	<1.0*	1.3	0.05	52°12'8.6" 21°24'18.7"
35	GKP w odległości poziomej 83m od anteny sektorowej az. 300°	0.3-2.0	<1.0*	<1.0*	<1.0*	1.3	0.05	52°12'8.6" 21°24'15.5"
-	GKP w odległości poziomej 386m od anteny sektorowej az. 50°	0.3-2.0	<1.0*	<1.0*	<1.0*	1.3	0.05	52°12'15.5" 21°24'34.9"
-	GKP w odległości poziomej 269m od anteny sektorowej az. 190°	0.3-2.0	<1.0*	<1.0*	<1.0*	1.3	0.05	52°11'58.9" 21°24'16.9"
-	GKP w odległości poziomej 360m od anteny sektorowej az. 300°	0.3-2.0	<1.0*	<1.0*	<1.0*	1.3	0.05	52°12'13.3" 21°24'2.9"

Pole magnetyczne (wyznaczone na podstawie pomiaru wartości natężenia pola elektrycznego)

Nr pionu	Opis umiejscowienia pionu (punktu pomiarowego)	Wysokość pomiaru [m]	Wartość natężenia pola magnetycznego H [A/m] ¹			Wartość natężenia pola magnetycznego powiększona o niepewność pomiaru ⁴ H [A/m]	Wskaźnikowa wartość poziomu emisji pól elektromagnetycznych WM _H ²	Współrzędne geograficzne pionu (punktu pomiarowego) ²
			Sonda SW-19	Sonda SW-20	Wartość			
1	DPP - w płaszczyźnie otworu okiennego budynku mieszkalnego, na parterze, Piastowska 62, Wielgolas Brzeziński	0.3-2.0	<0.003*	<0.003*	<0.003*	0.003	0.05	52°12'7.9" 21°24'19.8"
2	DPP - w płaszczyźnie otworu okiennego biura, na parterze, Piastowska 60, Wielgolas Brzeziński	0.3-2.0	<0.003*	<0.003*	<0.003*	0.003	0.05	52°12'6.1" 21°24'19.1"
3	PKP przed wejściem na zamkniętą posesję, ul. Piastowska 52	0.3-2.0	<0.003*	<0.003*	<0.003*	0.003	0.05	52°12'8.6" 21°24'22.7"
4	GKP w odległości poziomej 12m od anteny sektorowej az. 50°	0.3-2.0	<0.003*	<0.003*	<0.003*	0.003	0.05	52°12'7.6" 21°24'19.8"

Sprawozdanie z badań bez pisemnej zgody laboratorium nie może być powielane inaczej niż w całości.
 Wynik przedstawione w niniejszym sprawozdaniu odnoszą się wyłącznie do badanego obiektu i do warunków i konfiguracji urządzeń w dniu wykonywania pomiarów.

5	GKP w odległości poziomej 46m od anteny radioliniowej az. 50°	0.3-2.0	<0.003*	<0.003*	<0.003*	0.003	0.05	52°12'8.3" 21°24'21.2"
6	GKP w odległości poziomej 80m od anteny sektorowej az. 50°	0.3-2.0	<0.003*	<0.003*	<0.003*	0.003	0.05	52°12'9.0" 21°24'22.7"
7	PKP na az. 4° w odległości poziomej 39m od anteny sektorowej az. 50°	0.3-2.0	<0.003*	<0.003*	<0.003*	0.003	0.05	52°12'8.6" 21°24'19.8"
8	PKP na az. 20° w odległości poziomej 39m od anteny sektorowej az. 50°	0.3-2.0	<0.003*	<0.003*	<0.003*	0.003	0.05	52°12'8.6" 21°24'20.2"
9	PKP na az. 35° w odległości poziomej 35m od anteny sektorowej az. 50°	0.3-2.0	<0.003*	<0.003*	<0.003*	0.003	0.05	52°12'8.3" 21°24'20.5"
10	PKP na az. 65° w odległości poziomej 37m od anteny sektorowej az. 50°	0.3-2.0	<0.003*	<0.003*	<0.003*	0.003	0.05	52°12'7.9" 21°24'21.2"
11	GKP w odległości poziomej 27m od anteny radioliniowej az. 72°	0.3-2.0	<0.003*	<0.003*	<0.003*	0.003	0.05	52°12'7.6" 21°24'20.9"
12	PKP na az. 80° w odległości poziomej 40m od anteny sektorowej az. 50°	0.3-2.0	<0.003*	<0.003*	<0.003*	0.003	0.05	52°12'7.6" 21°24'21.6"
13	PKP na az. 96° w odległości poziomej 40m od anteny sektorowej az. 50°	0.3-2.0	<0.003*	<0.003*	<0.003*	0.003	0.05	52°12'7.2" 21°24'21.6"
14	GKP w odległości poziomej 30m od anteny radioliniowej az. 170°	0.3-2.0	<0.003*	<0.003*	<0.003*	0.003	0.05	52°12'6.5" 21°24'19.8"
15	GKP w odległości poziomej 6m od anteny sektorowej az. 190°	0.3-2.0	<0.003*	<0.003*	<0.003*	0.003	0.05	52°12'7.2" 21°24'19.4"
16	GKP w odległości poziomej 35m od anteny sektorowej az. 190°	0.3-2.0	<0.003*	<0.003*	<0.003*	0.003	0.05	52°12'6.1" 21°24'19.1"
17	GKP w odległości poziomej 79m od anteny sektorowej az. 190°	0.3-2.0	<0.003*	<0.003*	<0.003*	0.003	0.05	52°12'4.7" 21°24'18.7"

Sprawozdanie z badań bez pisemnej zgody laboratorium nie może być powielane inaczej niż w całości.

Wynik przedstawione w niniejszym sprawozdaniu odnoszą się wyłącznie do badanego obiektu i do warunków i konfiguracji urządzeń w dniu wykonywania pomiarów.

18	PKP na az. 144° w odległości poziomej 19m od anteny sektorowej az. 190°	0.3-2.0	<0.003*	<0.003*	<0.003*	0.003	0.05	52°12'6.8" 21°24'20.2"
19	PKP na az. 160° w odległości poziomej 24m od anteny sektorowej az. 190°	0.3-2.0	<0.003*	<0.003*	<0.003*	0.003	0.05	52°12'6.5" 21°24'19.8"
20	GKP w odległości poziomej 47m od anteny radioliniowej az. 213°	0.3-2.0	<0.003*	<0.003*	<0.003*	0.003	0.05	52°12'6.1" 21°24'18.0"
21	GKP w odległości poziomej 33m od anteny radioliniowej az. 281°	0.3-2.0	<0.003*	<0.003*	<0.003*	0.003	0.05	52°12'7.6" 21°24'17.6"
22	GKP w odległości poziomej 24m od anteny radioliniowej az. 287°	0.3-2.0	<0.003*	<0.003*	<0.003*	0.003	0.05	52°12'7.6" 21°24'18.4"
23	GKP w odległości poziomej 9m od anteny sektorowej az. 300°	0.3-2.0	<0.003*	<0.003*	<0.003*	0.003	0.05	52°12'7.6" 21°24'19.1"
24	GKP w odległości poziomej 39m od anteny sektorowej az. 300°	0.3-2.0	<0.003*	<0.003*	<0.003*	0.003	0.05	52°12'7.9" 21°24'17.6"
25	GKP w odległości poziomej 25m od anteny radioliniowej az. 327°	0.3-2.0	<0.003*	<0.003*	<0.003*	0.003	0.05	52°12'7.9" 21°24'18.7"
26	PKP na az. 205° w odległości poziomej 41m od anteny sektorowej az. 190°	0.3-2.0	<0.003*	<0.003*	<0.003*	0.003	0.05	52°12'6.1" 21°24'18.7"
27	PKP na az. 220° w odległości poziomej 41m od anteny sektorowej az. 190°	0.3-2.0	<0.003*	<0.003*	<0.003*	0.003	0.05	52°12'6.5" 21°24'18.0"
28	PKP na az. 236° w odległości poziomej 41m od anteny sektorowej az. 190°	0.3-2.0	<0.003*	<0.003*	<0.003*	0.003	0.05	52°12'6.5" 21°24'17.6"
29	PKP na az. 254° w odległości poziomej 39m od anteny sektorowej az. 300°	0.3-2.0	<0.003*	<0.003*	<0.003*	0.003	0.05	52°12'7.2" 21°24'17.3"
30	PKP na az. 270° w odległości poziomej 37m od anteny sektorowej az. 300°	0.3-2.0	<0.003*	<0.003*	<0.003*	0.003	0.05	52°12'7.6" 21°24'17.3"

Sprawozdanie z badań bez pisemnej zgody laboratorium nie może być powielane inaczej niż w całości.
 Wynik przedstawione w niniejszym sprawozdaniu odnoszą się wyłącznie do badanego obiektu i do warunków i konfiguracji urządzeń w dniu wykonywania pomiarów.

31	PKP na az. 285° w odległości poziomej 37m od anteny sektorowej az. 300°	0.3-2.0	<0.003*	<0.003*	<0.003*	0.003	0.05	52°12'7.6" 21°24'17.6"
32	PKP na az. 315° w odległości poziomej 39m od anteny sektorowej az. 300°	0.3-2.0	<0.003*	<0.003*	<0.003*	0.003	0.05	52°12'8.3" 21°24'18.0"
33	PKP na az. 330° w odległości poziomej 39m od anteny sektorowej az. 300°	0.3-2.0	<0.003*	<0.003*	<0.003*	0.003	0.05	52°12'8.6" 21°24'18.4"
34	PKP na az. 346° w odległości poziomej 39m od anteny sektorowej az. 300°	0.3-2.0	<0.003*	<0.003*	<0.003*	0.003	0.05	52°12'8.6" 21°24'18.7"
35	GKP w odległości poziomej 83m od anteny sektorowej az. 300°	0.3-2.0	<0.003*	<0.003*	<0.003*	0.003	0.05	52°12'8.6" 21°24'15.5"
-	GKP w odległości poziomej 386m od anteny sektorowej az. 50°	0.3-2.0	<0.003*	<0.003*	<0.003*	0.003	0.05	52°12'15.5" 21°24'34.9"
-	GKP w odległości poziomej 269m od anteny sektorowej az. 190°	0.3-2.0	<0.003*	<0.003*	<0.003*	0.003	0.05	52°11'58.9" 21°24'16.9"
-	GKP w odległości poziomej 360m od anteny sektorowej az. 300°	0.3-2.0	<0.003*	<0.003*	<0.003*	0.003	0.05	52°12'13.3" 21°24'2.9"

Pomiarów nie wykonano:

Oznaczenie braku dostępu	Opis umiejscowienia
A	W budynku mieszkalnym na piętrze pod adresem Piastowska 62, z powodu braku mieszkańców
B	W budynku mieszkalnym pod adresem Wielgolas Brzeziński, Piastowska 7a, z powodu terenu zamkniętego

W miejscach, w których nie udało się przeprowadzić pomiarów z powodu nieobecności mieszkańców, Laboratorium Badań Środowiskowych NetWorks podejmie próbę ich wykonania podczas kolejnych badań poziomu pól elektromagnetycznych prowadzonych na potrzeby ochrony środowiska.

GKP – Główny Kierunek Pomiarowy

DPP – Dodatkowy Pion Pomiarowy

PKP – Pomocniczy Kierunek Pomiarowy

¹ wyniki oznaczone * są wynikami poniżej czułości zestawu pomiarowego i są wynikami spoza zakresu akredytacji. Do obliczenia wyniku skorygowanego przyjęto wartość skorelowaną z rzeczywistym wynikiem pomiaru - dolną granicę akredytowanego zakresu pomiarowego metody

² współrzędne geograficzne pozyskane metodą pomiaru bezpośredniego

³ do wyznaczenia wartości wskaźnikowej WMe i WMH przyjęto na podstawie uzgodnień z klientem oraz rozpoznania źródeł, jako wartości dopuszczalne pola elektrycznego i magnetycznego odpowiednio 28 V/m i 0,073 A/m.

⁴ do wyznaczenia niepewności dla wyników poniżej czułości zestawu pomiarowego, przyjęto niepewność dla minimalnej wartości z zakresu pomiarowego.

⁵ maksymalna wartość chwilowa

Niepewność oszacowano zgodnie z dokumentem P-03 „Procedura nadzoru nad wyposażeniem” w postaci niepewności rozszerzonej wynikającej z niepewności standardowej pomnożonej przez współczynnik rozszerzenia k=2.

Sprawozdanie z badań bez pisemnej zgody laboratorium nie może być powielane inaczej niż w całości.

Wynik przedstawione w niniejszym sprawozdaniu odnoszą się wyłącznie do badanego obiektu i do warunków i konfiguracji urządzeń w dniu wykonywania pomiarów.

Całkowita szacowana niepewność rozszerzona składowej E wynosi odpowiednio:
sonda SW-19: 27.7% dla częstotliwości do 4 GHz, sonda SW-20: 27.2% dla częstotliwości do 4 GHz
Pomiar wykonany metodą 2 sond, opisaną w artykule Medycyna Pracy 2015;66(5):701-712 „Optymalizacja metodyki pomiaru wieloczęstotliwościowego pola elektromagnetycznego stacji bazowych telefonii komórkowej”.

Umiejscowienie pionów (punktów) pomiarowych przedstawiono w załączniku nr 2 do niniejszego sprawozdania.

Pomiary wykonano na terenach przeznaczonych pod zabudowę mieszkaniową w obszarze pomiarowym, w którym na podstawie uprzednio przeprowadzonych obliczeń, stwierdzono występowanie w danych zakresach częstotliwości pól elektromagnetycznych o poziomach zbliżonych do poziomów dopuszczalnych, określonych w przepisach wydanych na podstawie art. 122 ust. 1 ustawy z dnia 27 kwietnia 2001 r. – Prawo ochrony środowiska.

10. Omówienie wyników pomiarów

W związku z tym, że żadna z wartości zmierzonych, udokumentowanych w tabelach w pkt. 9, uzyskanych w skutek zastosowania pomiaru szerokopasmowego, powiększonego o rozszerzoną niepewność pomiaru U dla współczynnika rozszerzenia $k = 2$ nie przekroczyła 70% najniższej dopuszczalnej wartości składowej elektrycznej lub magnetycznej pola dla objętych pomiarami zakresów częstotliwości, nie uwzględnia się poprawek pomiarowych.

W wyniku zastosowania sposobu sprawdzenia dotrzymania dopuszczalnych poziomów pól elektromagnetycznych w środowisku, zgodnie pkt 25 ppkt 1 Rozporządzenia Ministra Klimatu z dnia 17 lutego 2020 r. (Dz. U. 2022, poz. 2630), w związku z tym, że żadna z wartości wskaźnikowych, udokumentowanych w tabelach w pkt. 9 nie przekracza wartości 1, stwierdza się, że w miejscach, w których wykonano pomiary w otoczeniu instalacji radiokomunikacyjnej 21207 (81570N!) WWA_HALINOW_WIELGOLAS, dopuszczalne poziomy pól elektromagnetycznych w środowisku należy uznać za dotrzymane.

Miejsca niedostępne podczas wykonywania pomiarów wskazane zostały w pkt. 9 (Wyniki pomiarów) lub na załączniku przedstawiającym usytuowanie pionów pomiarowych

11. Podstawa prawna

- 1) Ustawa z dnia 27 kwietnia 2001 r. Prawo ochrony środowiska (T. j. Dz. U. z 2025 r., poz. 647 z późn. zm.)
- 2) Rozporządzenie Ministra Zdrowia z dnia 17 grudnia 2019 r. w sprawie dopuszczalnych poziomów pól elektromagnetycznych w środowisku (Dz. U. 2019, poz. 2448)
- 3) Rozporządzenie Ministra Klimatu z dnia 17 lutego 2020 r. w sprawie sposobów sprawdzania dotrzymania dopuszczalnych poziomów pól elektromagnetycznych w środowisku (Dz. U. 2022, poz. 2630),
- 4) Akredytacja nr AB 419 wydana przez Polskie Centrum Akredytacji (wydanie 23, z dnia 5 marca 2024 r.)

12. Spis załączników

- Załącznik 1. Lokalizacja obiektu badań
- Załącznik 2. Usytuowanie pionów (punktów) pomiarowych
- Załącznik 3. Dokumentacja fotograficzna obiektu badań

13. Data wydania i autoryzowania sprawozdania

Obliczenia i sprawozdanie wykonał :

Adrianna
Wiatrowska

Elektronicznie podpisany
przez Adrianna Wiatrowska
Data: 2025.12.08 22:02:30
+01'00'

Sprawozdanie autoryzował:

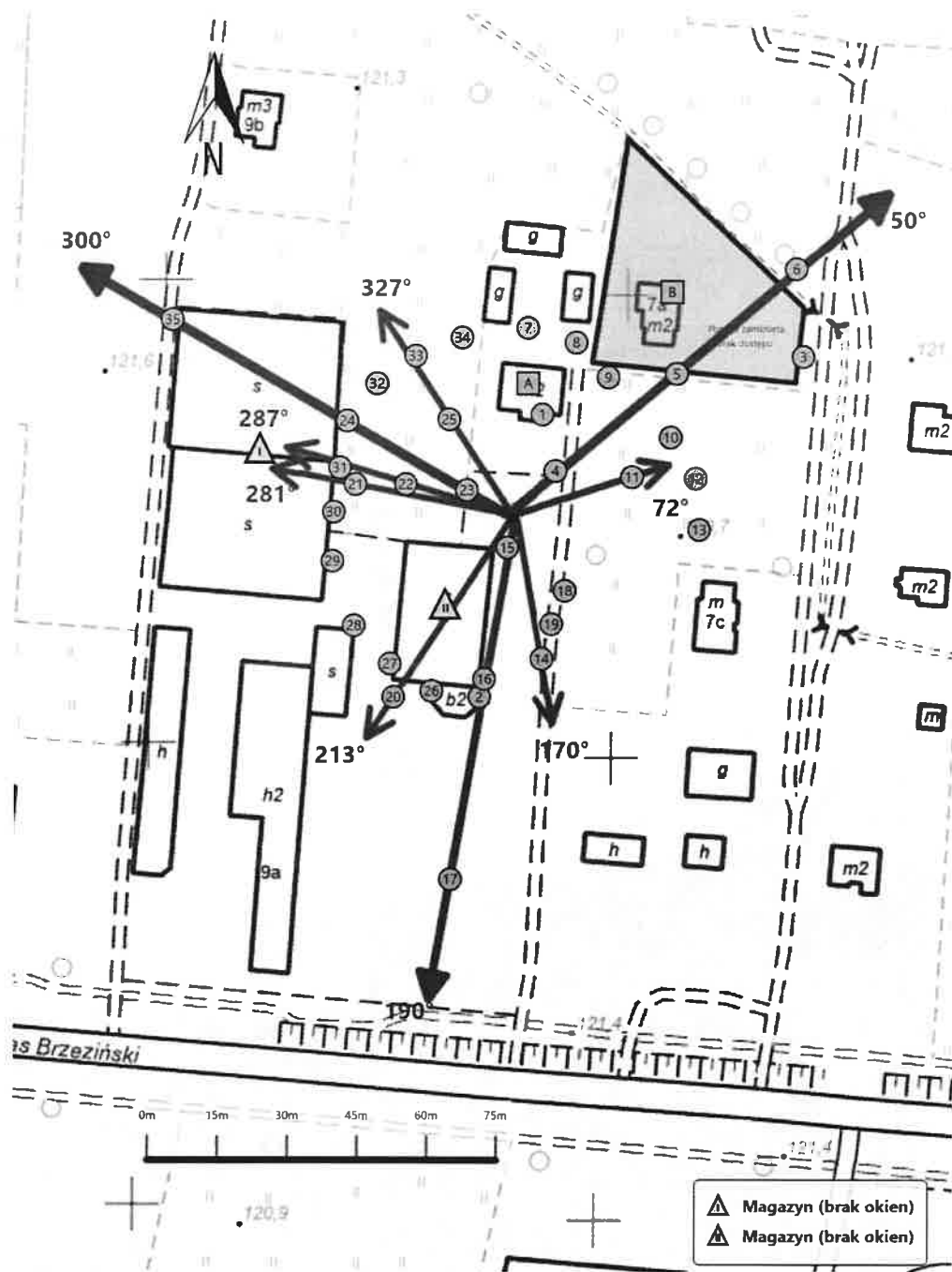







Signed by /
Podpisano przez:
Anna Kacperska

Date / Data:
2025-12-09 08:28

Koniec sprawozdania

Sprawozdanie z badań bez pisemnej zgody laboratorium nie może być powielane inaczej niż w całości.
Wynik przedstawione w niniejszym sprawozdaniu odnoszą się wyłącznie do badanego obiektu i do warunków i konfiguracji urządzeń w dniu wykonywania pomiarów.



<p>Załącznik nr 2</p>	<p>Instalacja radiokomunikacyjna T-Mobile Polska S.A. WWA_HALINOW_WIELGOLAS (81570N!) Usytuowanie pionów pomiarowych w otoczeniu instalacji radiokomunikacyjnej</p>
<p>Legenda:</p>	<p>  Źródło pola elektromagnetycznego  Brak dostępu  Pion pomiarowy  Kierunek oddziaływania anten sektorowych  Kierunek oddziaływania anten radioliniowych </p>



Załącznik nr 3

Instalacja radiokomunikacyjna T-Mobile Polska S.A.
21207 (81570N!) WWA_HALINOW_WIELGOLAS

Dokumentacja fotograficzna

Potwierdzam zgodność wydruku z dokumentem wydanym w postaci elektronicznej:

Identyfikator dokumentu	475194.961437.1198148
Nazwa dokumentu	81570_11485_2025_OS-sig (Załącznik - RPW_118322_2025).pdf
Skrót dokumentu	7CD60BAAA3E1A0D2C29B8DE282ACA58536B1B27E
Wersja dokumentu	1.0
Data podpisu	08.12.2025
Sygnatariusz	Adrianna Wiatrowska
Rodzaj certyfikatu	Certyfikat kwalifikowany podpisu elektronicznego
Data podpisu	09.12.2025
Sygnatariusz	Anna Kacperska
Rodzaj certyfikatu	Certyfikat kwalifikowany podpisu elektronicznego
	EZD 3.128.146.146.
Data wydruku:	10.12.2025 10:40:55
Autor wydruku:	Kowalczyk Marta

